

FIG. 1

2/26

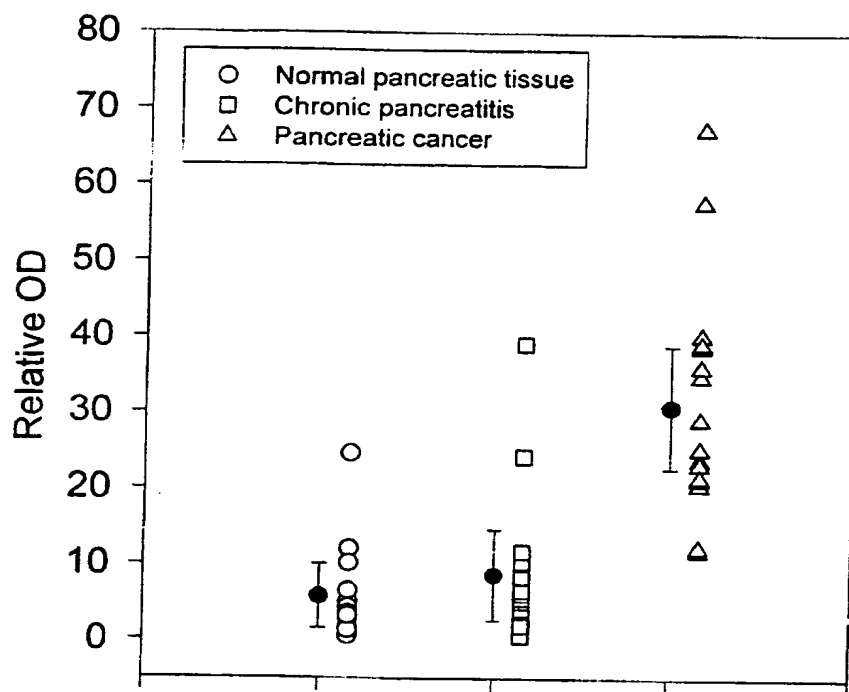


FIG. 2

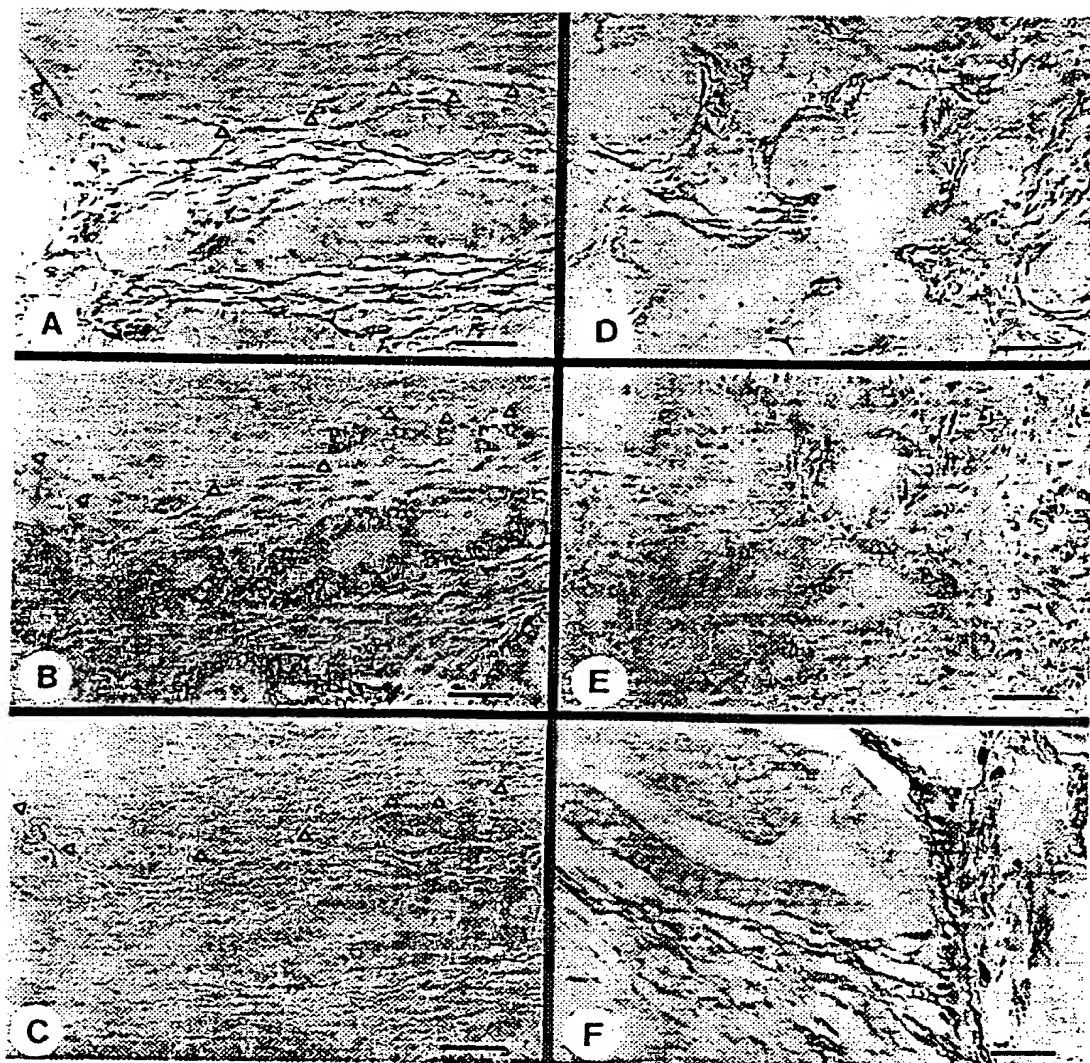


FIG. 3

4/26

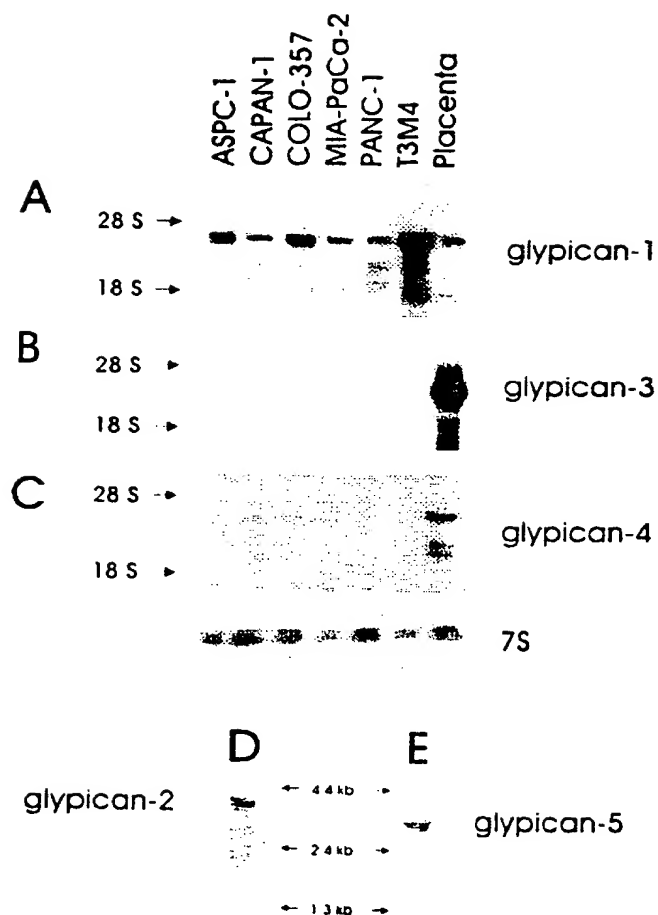


FIG. 4

5/26

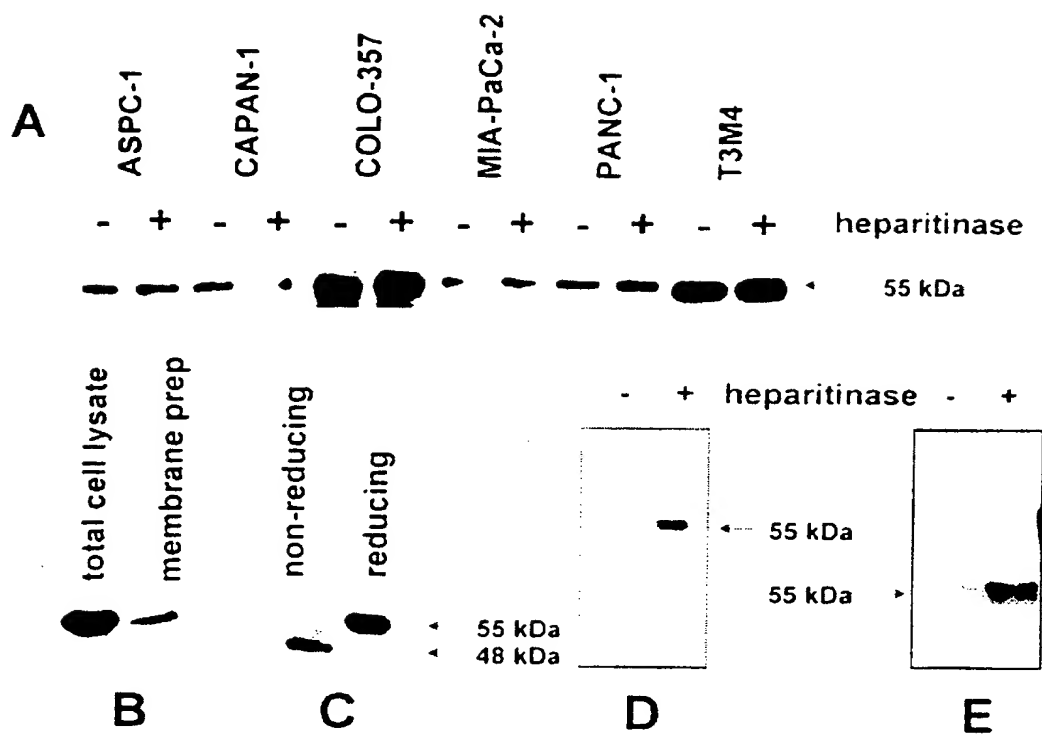


FIG. 5

6/26

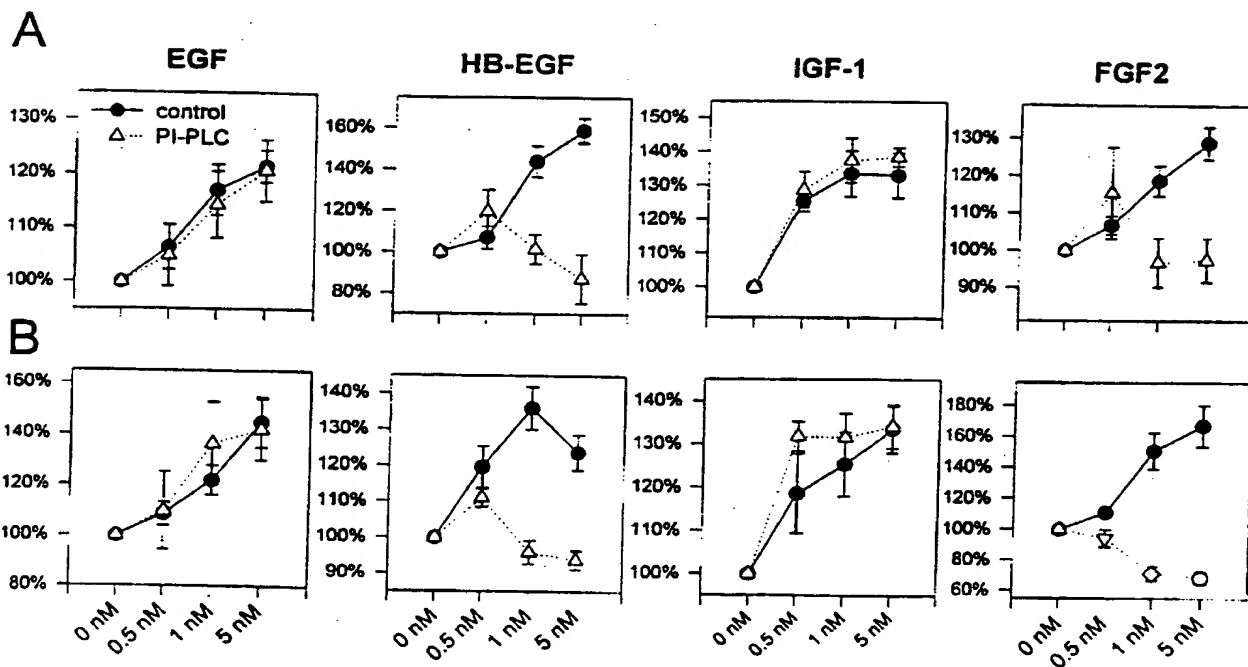


FIG. 6

7/26

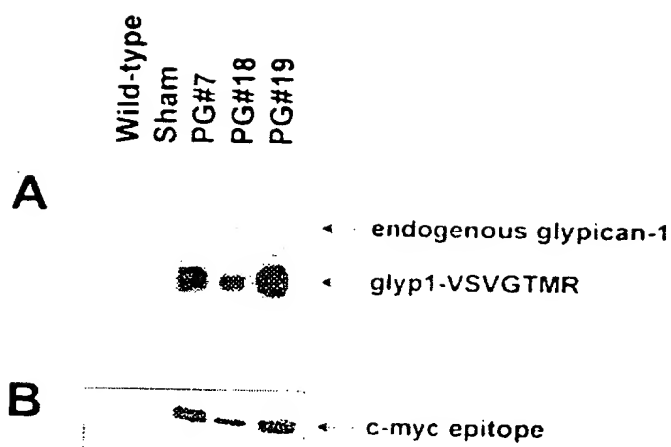


FIG. 7

8/26

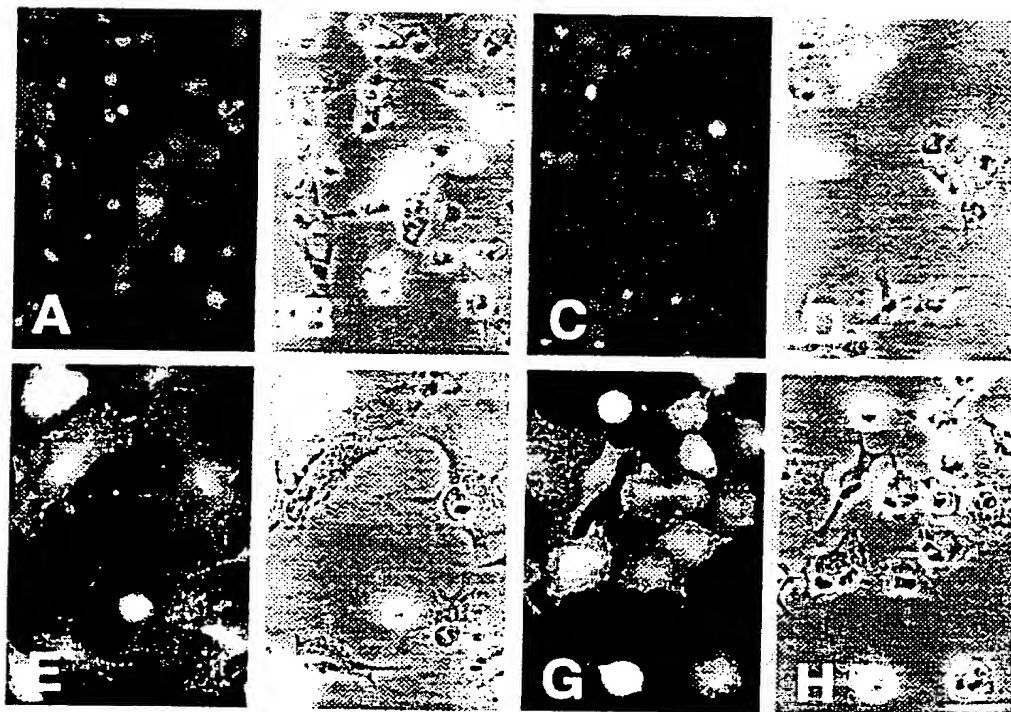


FIG. 8



9/26

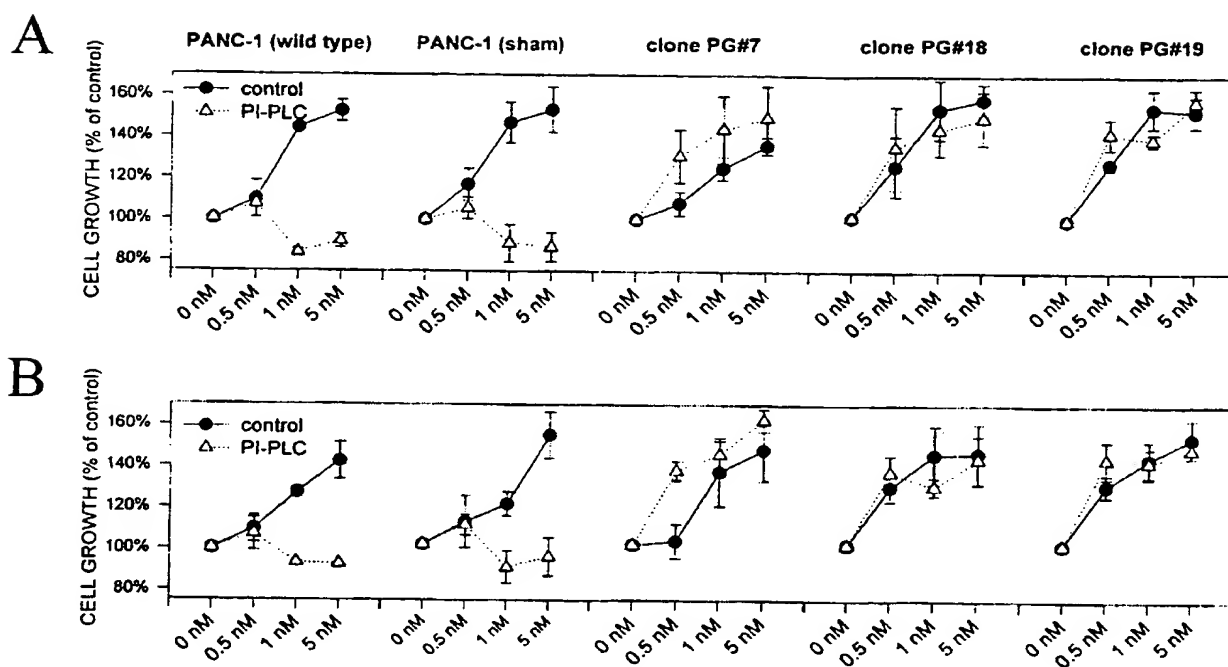


FIG. 9

10/26

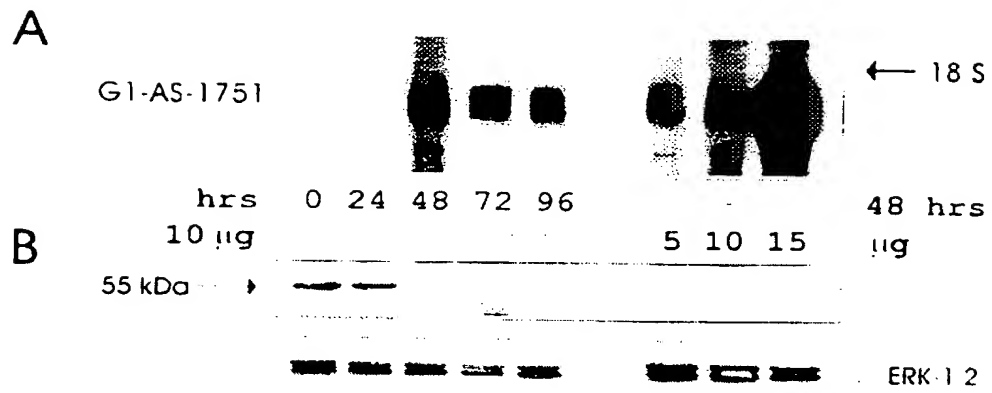


FIG. 10

11/26

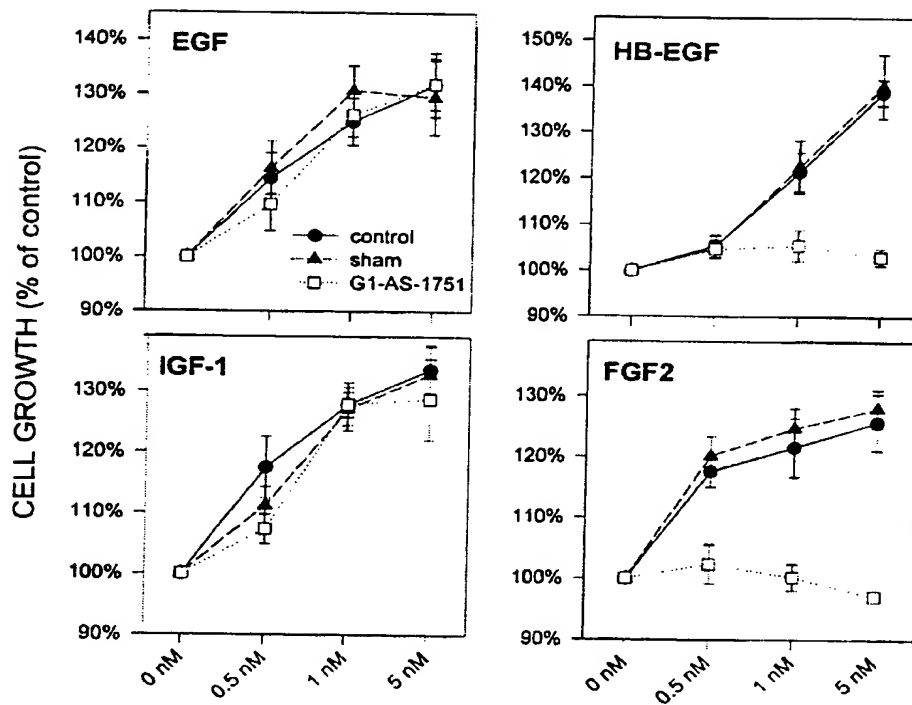


FIG. 11

12/26

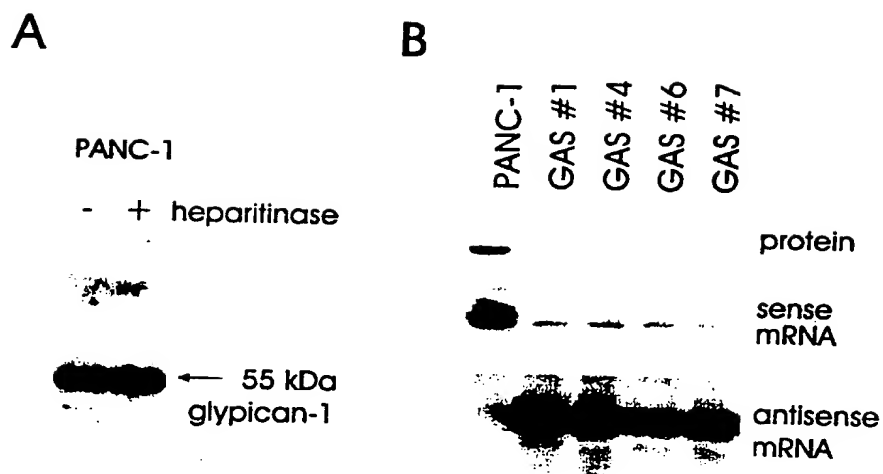


FIG. 12

13/26

Cell growth (% of control)

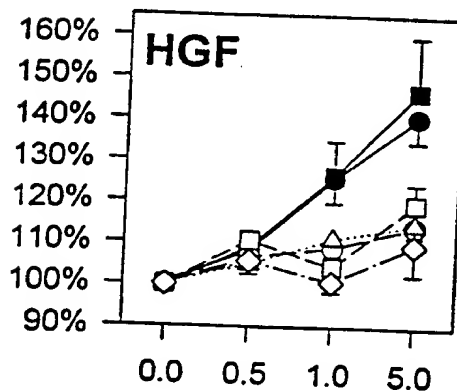
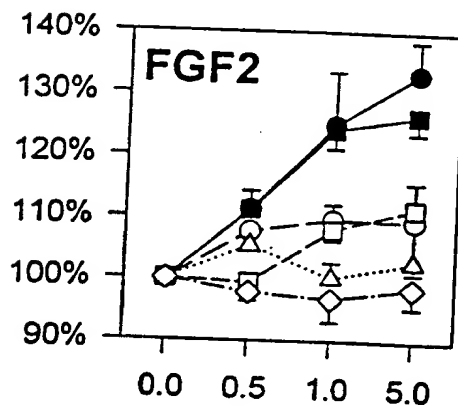
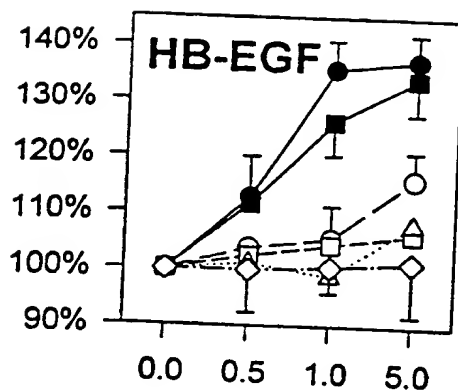


FIG. 13

14/26

Cell growth (% of control)

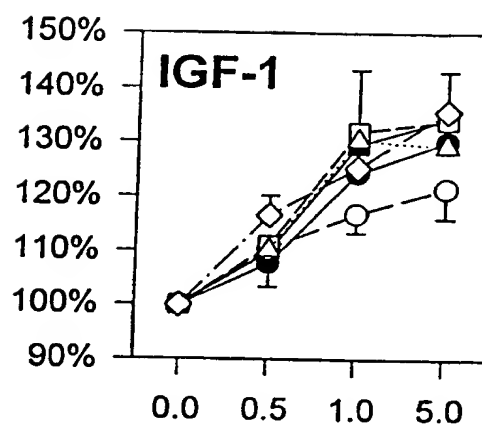
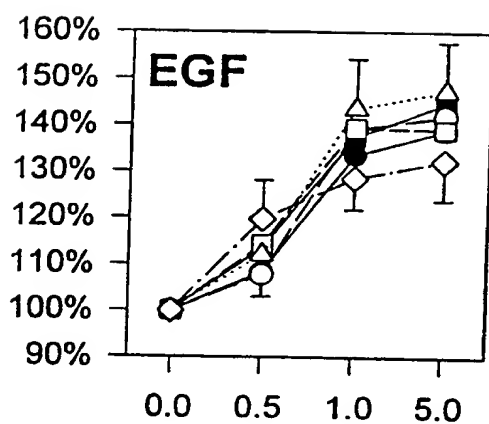


FIG. 14

15/26

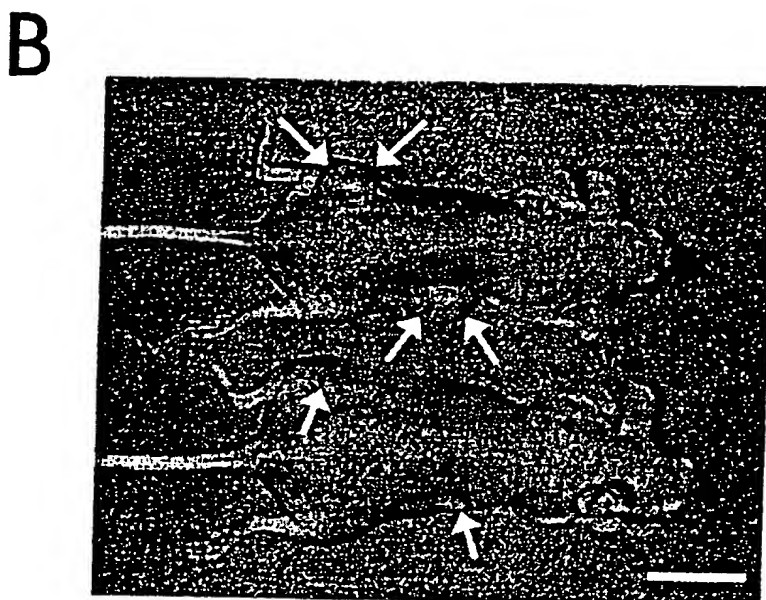
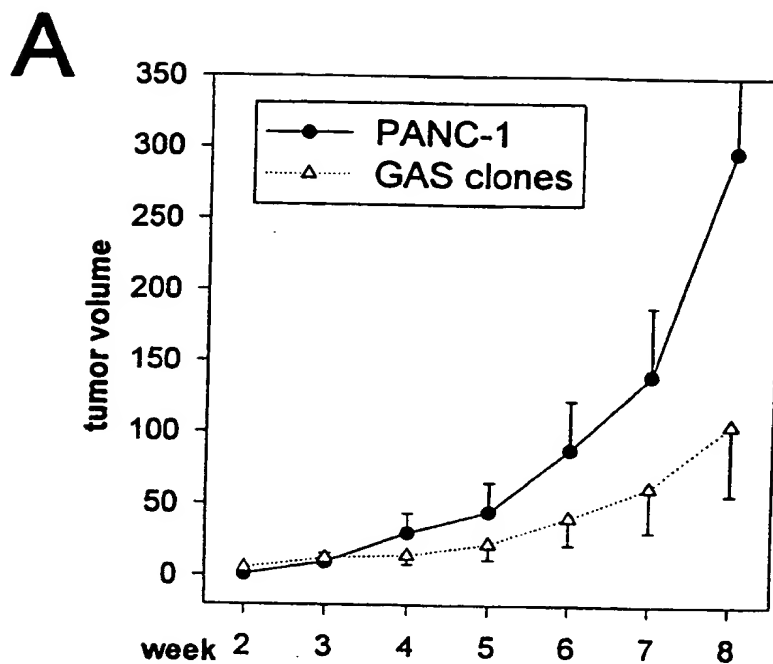


FIG. 15

16/26

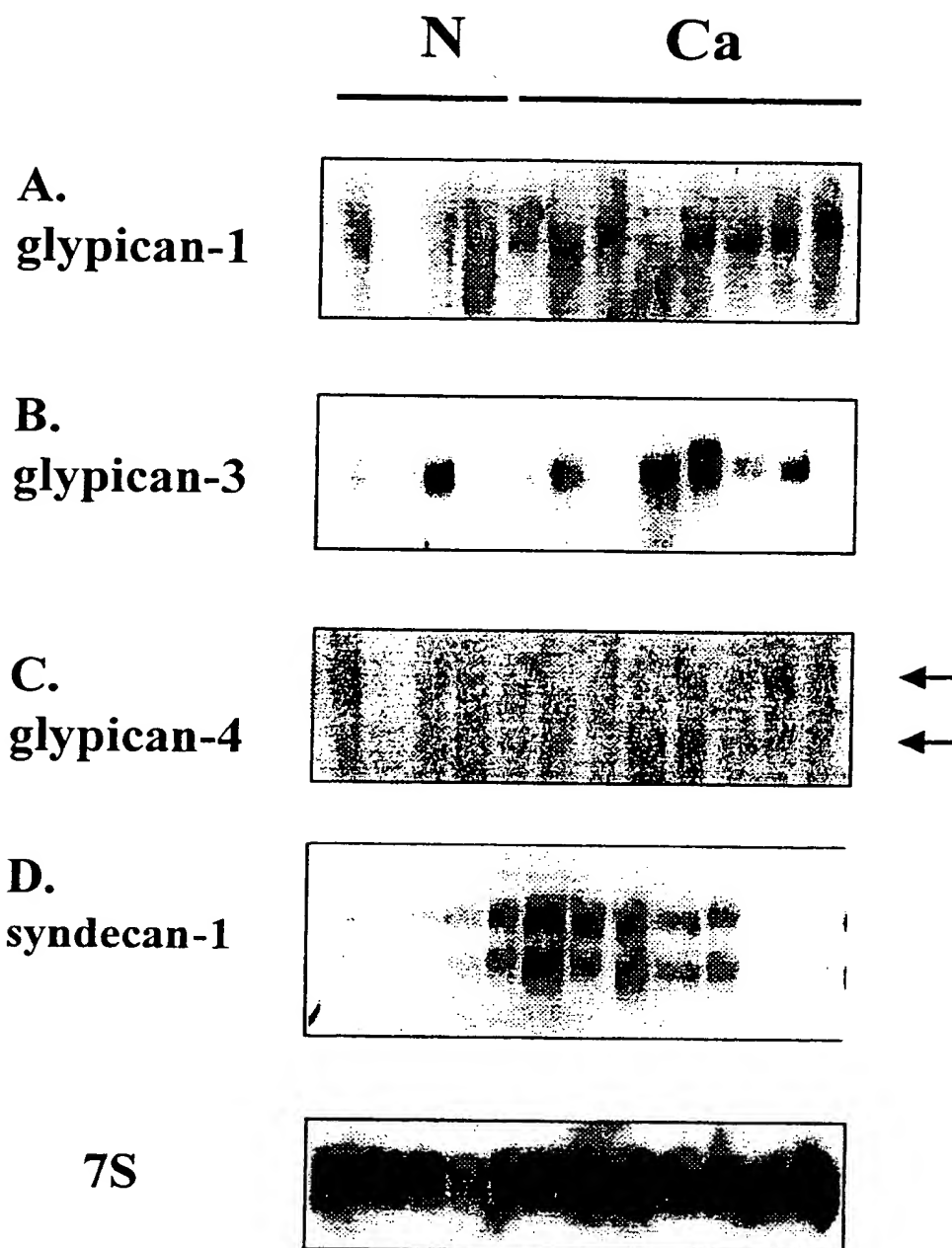


FIG. 16



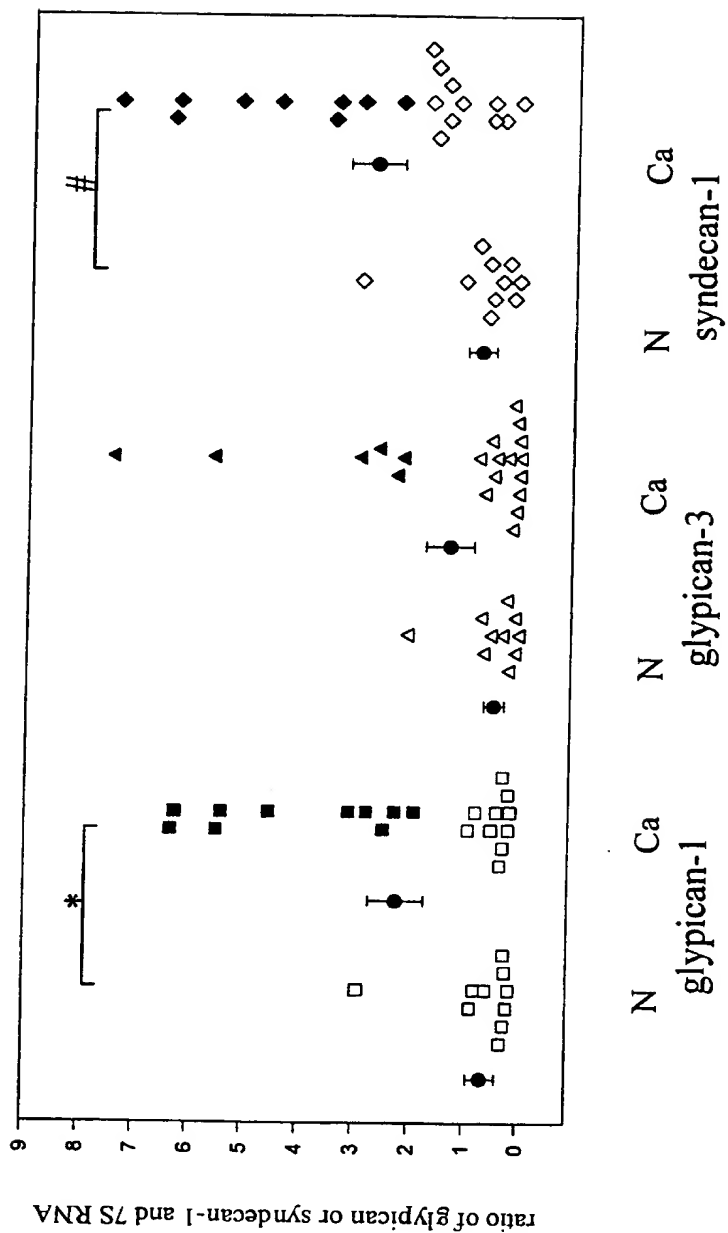


FIG. 17

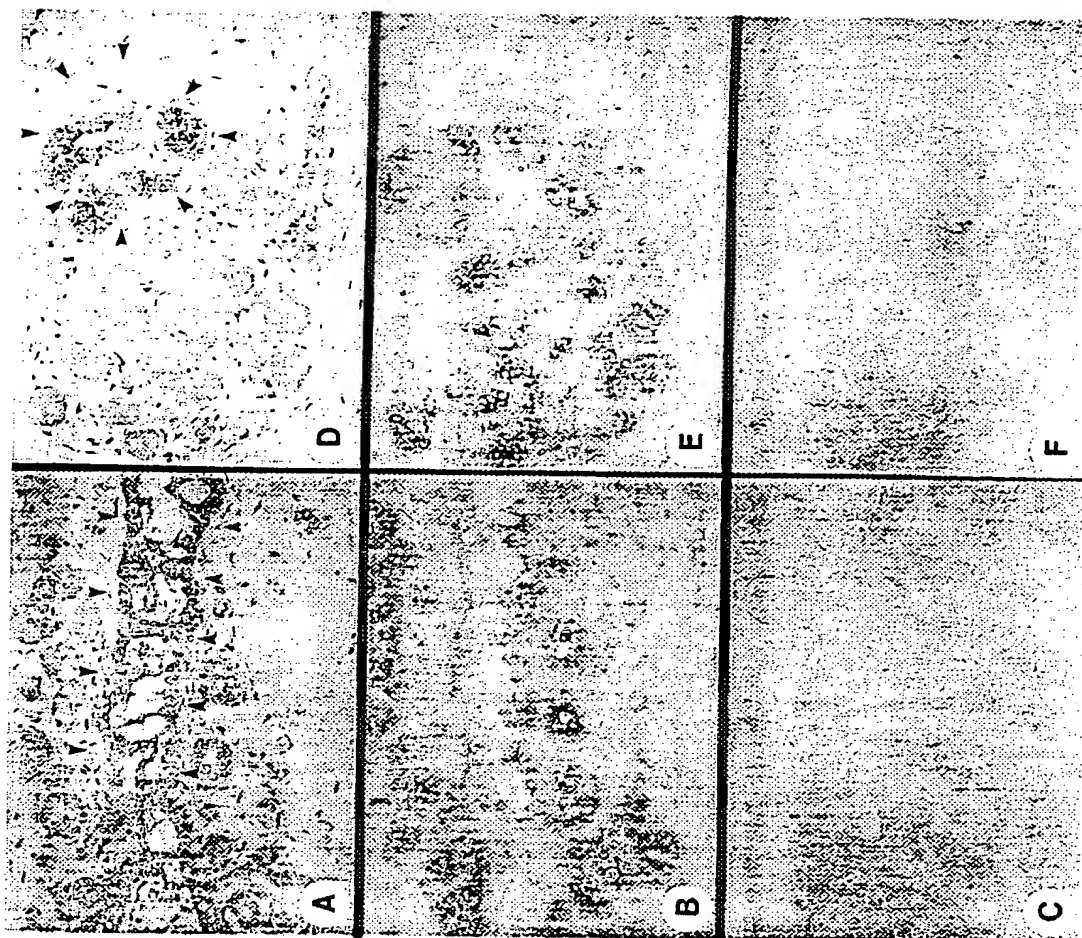


FIG. 18

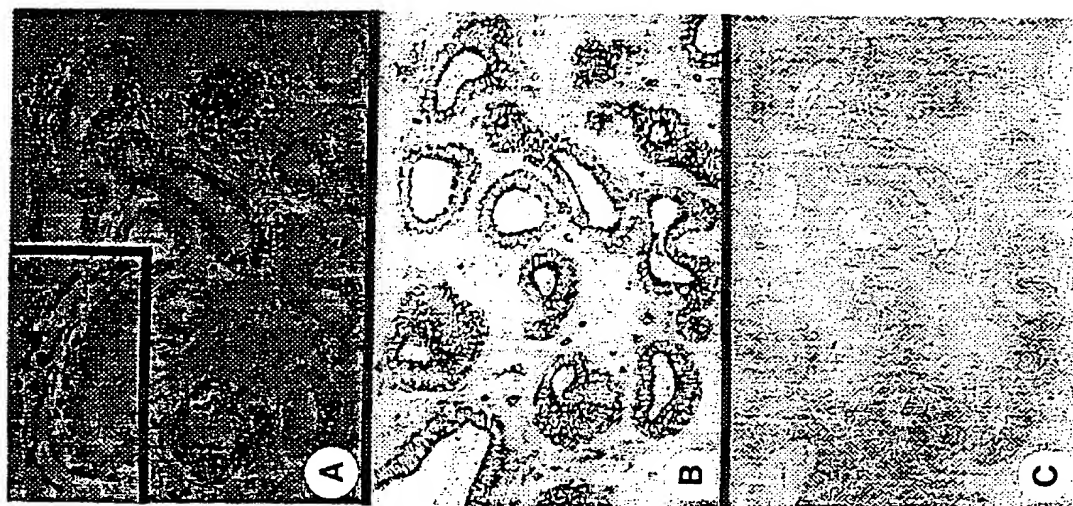


FIG. 19

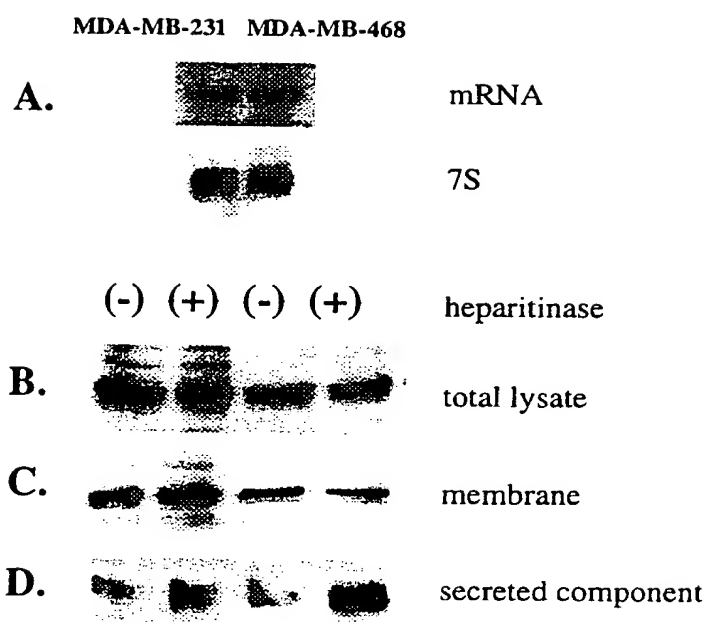


FIG. 20

MDA-MB-231

MDA-MB-468

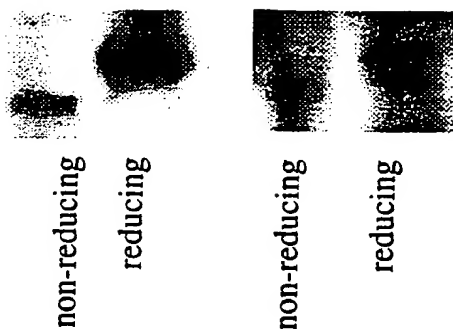


FIG. 21

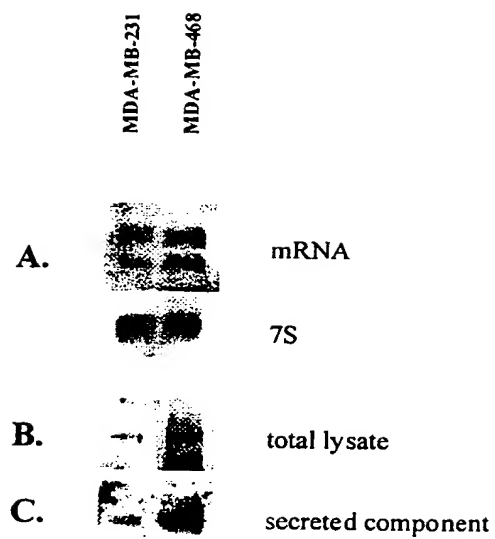


FIG. 22

23/26

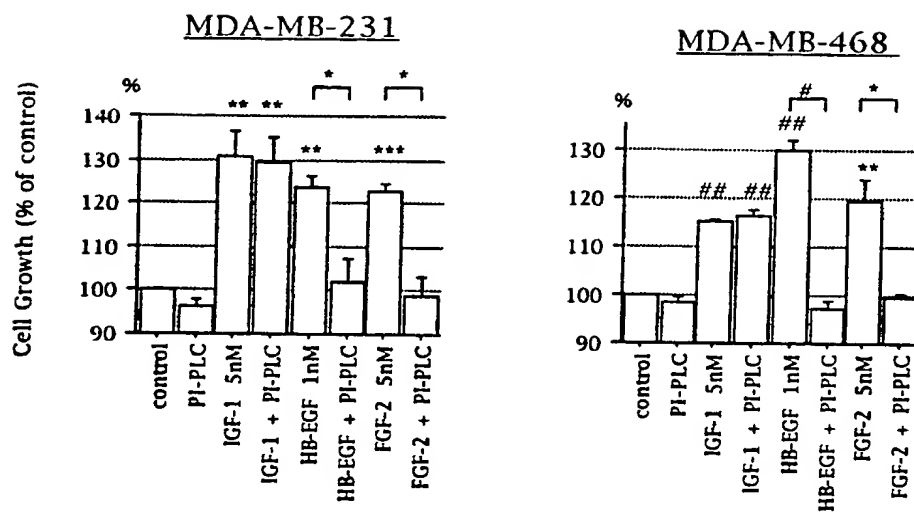


FIG. 23

24/26

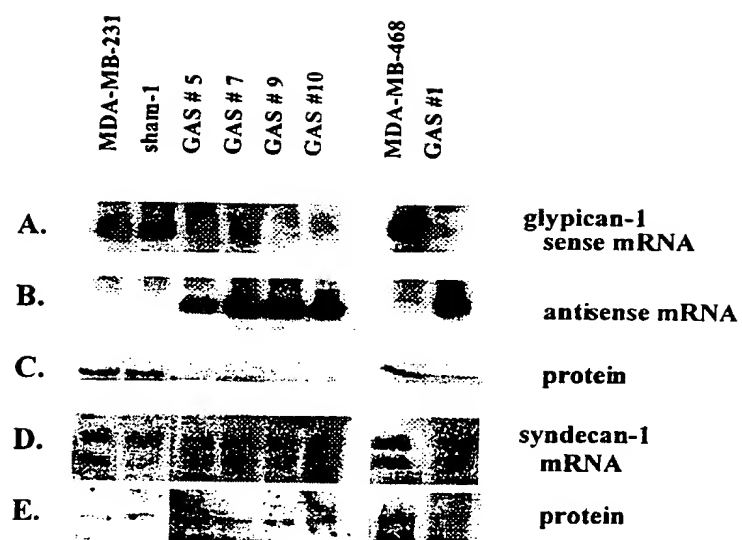


FIG. 24



25/26

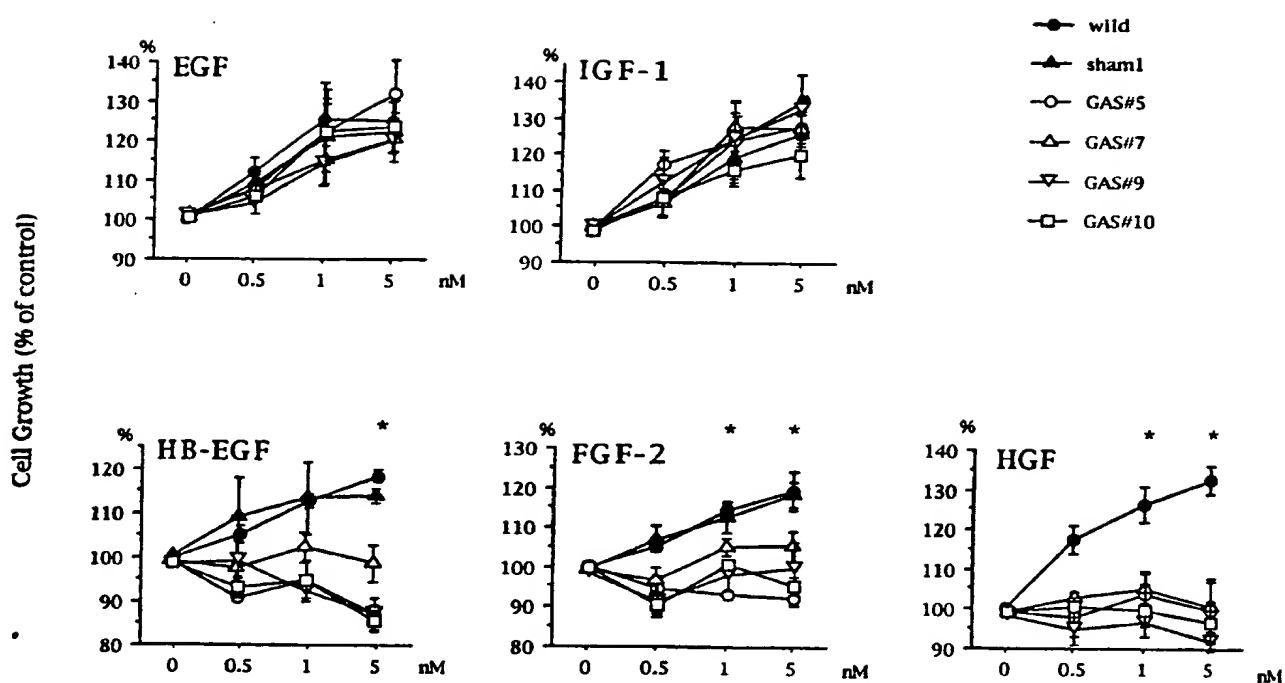
MDA-MB-231

FIG. 25

26/26

MDA-MB-468

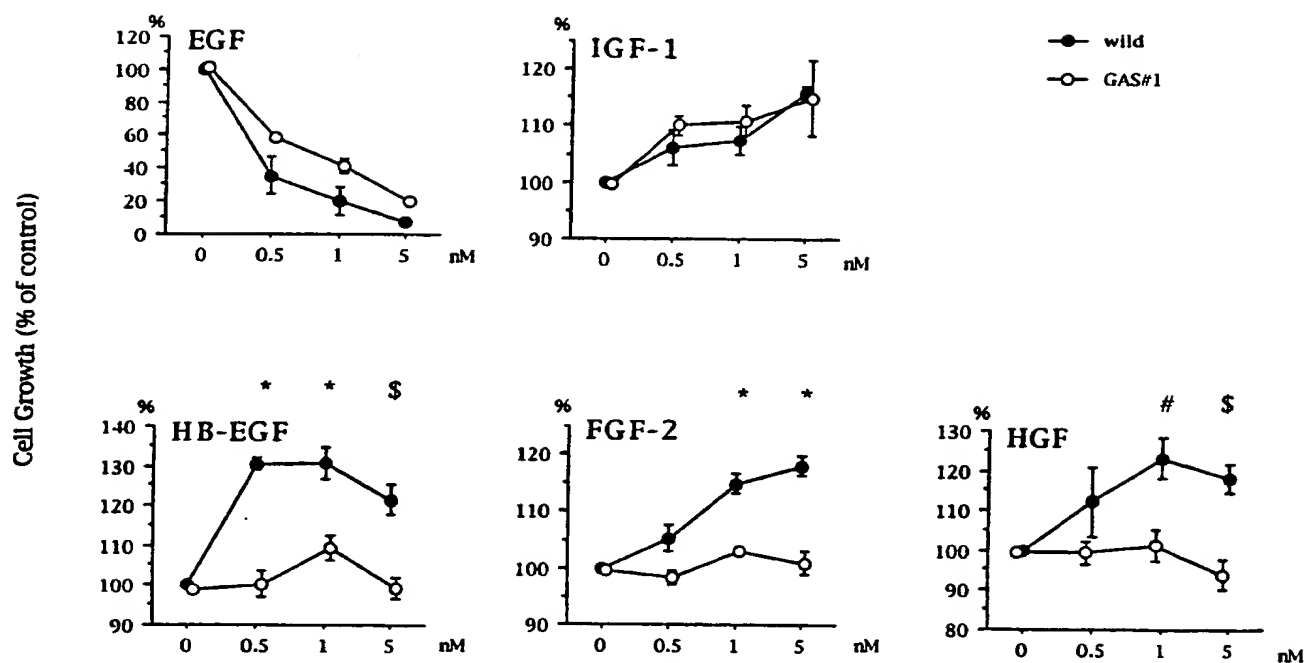


FIG. 26